

山梨大学・工学部 正員 平島健一
峡南高校・土木科 正員・西島浩史

1. 緒言

前回(1983年)の年譲において著者の一人は2次元的な半無限体の内部の一点に時間依存性の荷重(クラック)が発生した場合の表面応答について剛じた型の解釈解を求め、代表的な二、三の数値例によると、物体波およびRayleigh波の影響について定量的な議論を行なった。²⁾ ここでそれを次の結果と一步進め、内部の一点で生じた運動源(クラックなし荷重)が表面と平行に一定速度で移動するよりの場合を拡張し、表面のみならず物体内の任意位置における非定常応答を求めることができよう試みたものである。ここでは紙面の都合上、表面応答についての二、三の結果を報告するが、この種の問題は別名いはば“compact tension test”におけるAcoustic emissionについて最近發表された Wadley & Scruby ³⁾ 及び Scruby ⁴⁾ の論文を深く関連するものである。

2. 基礎式と解法の概要²⁾

変位表示した線形弾性体の運動方程式(Naiver方程式)のうち奥行方向(y方向とする)の変位 W が一定になら零であるような2次元的な場合には次式で与えられる。

$$C_T^2 \nabla^2 U + (C_L^2 - C_T^2)(U_{xx} + U_{zz})_{,x} = \ddot{U} - \hat{F}_x(x, z; t), \quad C_T^2 \nabla^2 W + (C_L^2 - C_T^2)(U_{zz} + U_{xx})_{,z} = \ddot{W} - \hat{F}_z(x, z; t). \quad (1)$$

$$= 1, \quad C_L = \sqrt{(\lambda+2G)/\rho}, \quad C_T = \sqrt{G/\rho}, \quad \nabla^2 = \partial^2/\partial x^2 + \partial^2/\partial y^2 \quad (2)$$

であり、 λ, G は Lamé 定数、 C_L, C_T は横波、横波の伝播速度である。 \hat{F}_x, \hat{F}_z は単位質量当たり、時間依存性の体積力である。

次に等質等方の構成関係式と幾何学関係式により応力成分と変位表示する。

$$\sigma_{xx} = (\lambda+2G)U_{xx} + \lambda W_{,z}, \quad \sigma_{zz} = (\lambda+2G)U_{zz} + \lambda W_{,x}, \quad \tau_{xz} = G(U_{xz} + U_{zx}). \quad (3)$$

いま、Fig. 1 に示した半無限体の表面ならびに深さ $z=h$ の内部位置に時間依存性の荷重および較位(クラック)が生じたものとすれば、境界条件として次式が成立する。

$$\left. \begin{aligned} \sigma_{zz} &= \sigma(x, t), \quad \tau_{xz} = \tau(x, t) \quad \text{at } z=0, \\ [U]_{z=0}^{k+0} &= \Delta U(x, t), \quad [W]_{z=0}^{k+0} = \Delta W(x, t), \\ [\tau_{xz}]_{z=0}^{k+0} &= -\hat{F}_x(x, t), \quad [\tau_{zx}]_{z=0}^{k+0} = -\hat{F}_z(x, t), \end{aligned} \right\} \quad (4)$$

次に、無限遠点($x, z \rightarrow \infty$)での放射の条件($U=W=0$)が式(4)に満足されることは明らか。

以上の条件のもとで基礎式(1)と時間に関して Laplace 変換、座標 x に関して Fourier 変換を実行し、また上記の境界条件も同様に Laplace-Fourier 変換を行なうと変換後の変位 \bar{U}^* , \bar{W}^* が内する常微分方程式を解き境界条件の下で解ければ \bar{U}^* , \bar{W}^* が陽に求められることが出来る²⁾。その結果 Fourier 変換後で Cagniard の方法¹⁾にて実空間への戻り、 W が求められ、それを式(2)に代入すれば応力成分が決定することができる。

3. 数値計算例

(A) $z=h$ の位置に発生・移動する開口型クラック。

Fig. 2 のように $(0, h)$ の点で開口型クラックが発生し、移動速度 C_0 で x 軸に平行にクラックが伝播してゆく場合を考える。この場合には式(4)と次式のように設定してやればよい。

$$\left. \begin{aligned} \sigma = \tau &= 0, \quad F_x = F_z = 0, \quad \Delta U = 0 \\ \Delta W(x, t) &= \Delta W_0 \cdot H(x) \cdot H(t - x/C_0) \end{aligned} \right\} \quad (5)$$

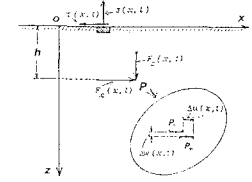


Fig. 1 Half-plane under the surface loads and the buried force and dislocation sources.

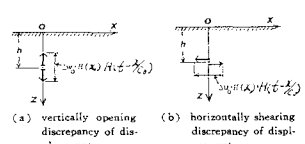


Fig. 2 Point dislocation with step function of time at depth $z=h$.

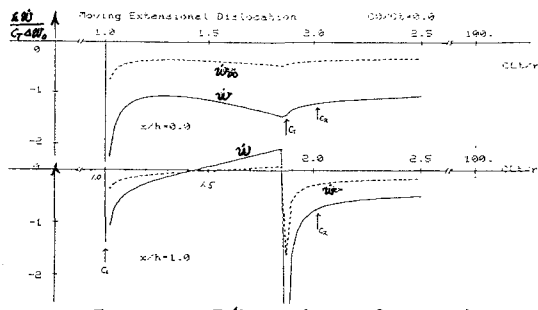


Fig. 3 Moving Extension ($\nu=0.3, C_0/C_r=0.0$)

前記の式(5)と所定の係数の式に代入し整理して最終的に表面上の代表的な位置での変位速度(particle velocity)を求めることが出来る。Fig. 3~5はボアソン比 $\nu=0.3$ と移動速度 C_0 を3種類(i.e. $C_0/C_r=0.0, 0.5, 0.9$)に変化させた場合の鉛直方向変位速度 w を図示したものである。ここで横軸は無次元化した時間である。Fig. 3の点線は無限体とした場合の対応する結果を参考のために示してある。Fig. 4&5の横軸は無次元化移動速度として $(x-C_0t)/h$ を用い、クラック発生後の時刻 $T (=C_0t/h)$ をパラメータとして数種の結果が図示されており、 T の増大に伴なつて分布形は座標原点に向かうほど対称性が現れることは定常状態に近づいていくことが観察される。 T が小さい間、すなわち危険がクラックの開口直後では極めて変動が多く非定常性の影響が顕著であることを示している。

(B) $x=h$ の位置に発生・移動するせん断型クラック。

この場合にはFig. 2(b)のようだsliding typeのクラックに相当し、 $x=h$ に対する境界条件は次式で与えられる。

$$\begin{aligned} \sigma = \tau = 0, \quad F_x = F_z = 0, \quad \Delta W = 0, \\ \Delta U(x,t) = \Delta U_0 \cdot H(x) \cdot H(t - x/C_0) \end{aligned} \quad \text{.....(6)}$$

この場合の結果の一例がFig. 6 & 7を示す。

4. 結 言

ここでは表面上の応答のみの簡単な例を示したが、内部点の挙動、Transonic & Supersonic の移動速度の場合あるいは実験結果との比較解析等については講演会当日に発表する予定である。

参 考 文 献

- 1) 平島健一: 第38回土木学会年次講演会概要集, I-65. (1983)
- 2) 平島健一・J. Achenbach: 土木学会論文報告集, No. 341 (1984-1), 3) H.N.G. Wadley & C.B. Scruby: Int. J. Fracture, Vol. 19 (1983), pp. 111~128.
- 4) C.B. Scruby et al: J. Phys. D, Appl. Phys. Vol. 16 (1983), pp. 1069~1083.

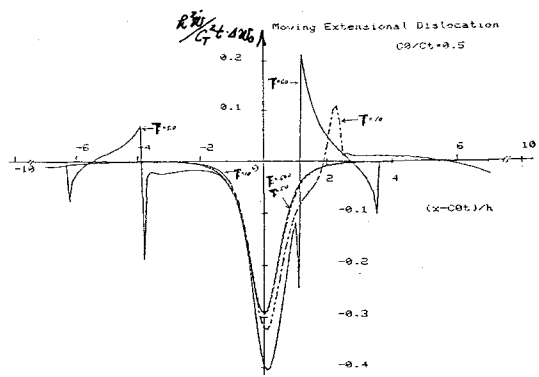


Fig. 4 Moving Extension ($\nu=0.3, C_0/C_r=0.5$)

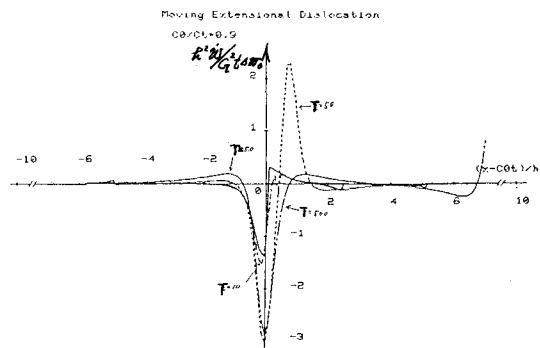


Fig. 5 Moving Extension ($\nu=0.3, C_0/C_r=0.9$)

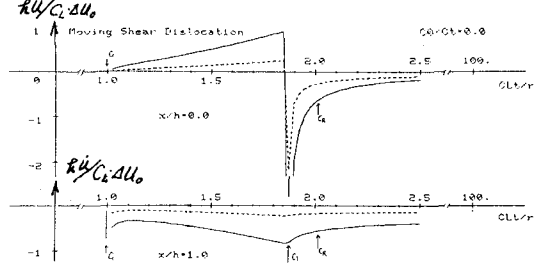


Fig. 6. Moving Shear Slide ($\nu=0.3, C_0/C_r=0.0$)

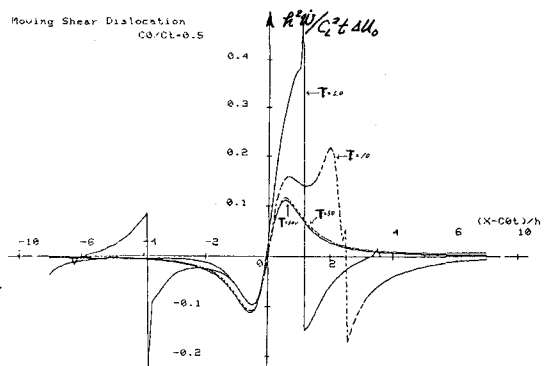


Fig. 7 Moving Shear Slide ($\nu=0.3, C_0/C_r=0.5$)